

Самосогласованный расчет спектра квазичастиц в сверхтекучей бозе-жидкости с подавленным бозе-эйнштейновским конденсатом

Э. А. Пашицкий

Институт физики НАН Украины, пр. Науки, 46, г. Киев, 03650, Украина
E-mail: pashitsk@iop.kiev.ua

С. И. Вильчинский

Киевский университет им. Т. Шевченко, пр. Глушкова, 2, г. Киев, 03142, Украина
E-mail: sivil@phys.univ.kiev.ua

С. В. Машкевич

Институт теоретической физики им. Н. Н. Боголюбова НАН Украины,
ул. Метрологическая, 14-б, г. Киев, 03143, Украина
E-mail: mash@mashke.org

Статья поступила в редакцию 15 октября 2001 г.

Методом итераций проведен самосогласованный расчет нормальной Σ_{11} и аномальной Σ_{12} собственно-энергетических частей, поляризационного оператора бозонов Π на «массовой поверхности» и спектра квазичастиц $E(p)$ в сверхтекучей бозе-жидкости с подавленным за счет взаимодействия одночастичным бозе-эйнштейновским конденсатом (БЭК) при $T = 0$. Расчет базируется на системе «укороченных» интегральных уравнений для Σ_{11} и Σ_{12} с учетом членов первого порядка по плотности БЭК $n_0/n \ll 1$, а в качестве «затравочного» взаимодействия между бозонами использовался отталкивательный псевдопотенциал в модели «полупрозрачных сфер», фурье-компоненты которого являются осциллирующей знакопеременной функцией передаваемого импульса. Путем подбора единственного подгночного параметра — амплитуды исходного псевдопотенциала отталкивания — удается получить вполне удовлетворительное согласие теоретического спектра квазичастиц $E(p)$ с измеренным в экспериментах по нейтронному рассеянию спектром элементарных возбуждений в сверхтекучем гелии в широкой области импульсов ($0 \leq p \leq p_{\max} \approx 4 \text{ \AA}^{-1}$).

Методом ітерацій проведено самоузгоджений розрахунок нормальної Σ_{11} та аномальної Σ_{12} власно-енергетичних частин, поляризаційного оператора бозонів Π на «масовій поверхні» та спектра квазичастинок $E(p)$ у надплинній бозе-рідині з подавленням за рахунок взаємодії одночастинковим бозе-еїнштейнівським конденсатом (БЕК) при $T = 0$. Розрахунок базується на системі «скорочених» інтегральних рівнянь для Σ_{11} та Σ_{12} з врахуванням членів першого порядку по густині БЕК $n_0/n \ll 1$, а в якості «затравочної» взаємодії між бозонами використовано відштовхувальний псевдопотенціал в моделі «напівпрозорих сфер», фурье-компоненти якого є осцилюючою знакозмінною функцією імпульсу, що передається. Шляхом підбору єдиного підгночного параметра — амплітуди вихідного псевдопотенціала відштовхування — вдається отримати досить задовільне узгодження теоретичного спектра квазичастинок $E(p)$ з вимірюним в експерименті по нейтронному розсіюванню спектром елементарних збуджень у надплинному гелію у широкій області імпульсів ($0 \leq p \leq p_{\max} \approx 4 \text{ \AA}^{-1}$).

PACS: 67.57.-z

Введение

Точный расчет «*ab initio*» спектра элементарных возбуждений в сверхтекучей (СТ) бозе-жидкости с сильным взаимодействием между частицами представляет собой чрезвычайно сложную (если не безнадежную) задачу квантовой теории многих тел. Поэтому необходим поиск различных упрощенных (модельных) подходов к решению этой задачи с помощью тех или иных приближенных аналитических и численных методов с использованием имеющихся малых параметров. Одним из таких параметров для бозе-жидкости при температуре близкой к нулю ($T \rightarrow 0$) является отношение плотности n_0 подавленного за счет взаимодействия между бозонами одиночастичного бозе-эйнштейновского конденсата (БЭК) к полной плотности частиц n в бозе-жидкости. Согласно экспериментальным данным [1,2], в ${}^4\text{He}$ при $T \ll 1$ К отношение n_0/n не превышает 10% и может служить исходным малым параметром для построения приближенной теоретической модели СТ состояния бозе-жидкости.

Настоящая работа посвящена дальнейшему развитию методов численных расчетов спектра квазичастиц в СТ бозе-жидкости с подавленным БЭК в рамках предложенного в [3] подхода на основе «укороченных» уравнений Беляева [4]. Методом итераций проведены расчеты нормальной Σ_{11} и аномальной Σ_{12} собственно-энергетических частей и поляризационного оператора бозонов Π на «массовой поверхности». В качестве нулевой итерации при вычислении поляризационного оператора Π использовался боголюбовский спектр [5] для потенциала отталкивания в модели «полупрозрачных сфер» с последующей перенормировкой («экранировкой») этого взаимодействия за счет многочастичных (коллективных) эффектов в процессе самосогласованного расчета спектра квазичастиц. Показано, что в рамках рассмотренной модели путем подбора единственного подгоночного параметра — амплитуды псевдопотенциала отталкивания — удается получить вполне удовлетворительное согласие теоретического спектра с экспериментальным спектром элементарных возбуждений в жидком ${}^4\text{He}$, измеренным по неупругому нейтронному рассеянию [6,7].

2. Выбор исходного потенциала взаимодействия между бозонами

Как было показано в [3] (см. также [8]), при малой плотности БЭК ($n_0 \ll n$) в бозе-жидкости можно получить замкнутую самосогласованную систему интегральных уравнений для нормальной

$\Sigma_{11}(\mathbf{p},\omega)$ и аномальной $\Sigma_{12}(\mathbf{p},\omega)$ собственно-энергетических частей путем обрыва бесконечных рядов теории возмущений по степеням $\sqrt{n_0}$ (т.е. по числу конденсатных линий) с сохранением только главных членов первого порядка по малому параметру n_0/n .

В аналитическом виде эта система «укороченных» уравнений Беляева—Дайсона [4] имеет вид [3,8]

$$\tilde{\Sigma}_{11}(\mathbf{p},\varepsilon) = n_0 \Lambda(\mathbf{p},\varepsilon) \tilde{V}(\mathbf{p},\varepsilon) + n_1 V(0) + \Phi(\mathbf{p},\varepsilon); \quad (1)$$

$$\tilde{\Sigma}_{12}(\mathbf{p},\varepsilon) = n_0 \Lambda(\mathbf{p},\varepsilon) \tilde{V}(\mathbf{p},\varepsilon) + \Psi(\mathbf{p},\varepsilon). \quad (2)$$

Здесь $\tilde{V}(\mathbf{p},\varepsilon)$ — перенормированное («экранированное») за счет многочастичных колективных эффектов парное взаимодействие между бозонами:

$$\tilde{V}(\mathbf{p},\varepsilon) = \frac{V(p)}{1 - V(p) \Pi(\mathbf{p},\varepsilon)}; \quad (3)$$

$V(p)$ — фурье-компоненты исходного («затравочного») потенциала парного взаимодействия бозонов; $\Pi(\mathbf{p},\varepsilon)$ — поляризационный оператор бозонов (см. ниже); $\Gamma(\mathbf{p},\varepsilon;\mathbf{k},\omega)$ — вершинная часть (трехполюсник), описывающая многочастичные корреляции типа эффектов локального поля; $\Lambda(\mathbf{p},\varepsilon) = \Gamma(\mathbf{p},\varepsilon;0,0)$ — вершинная часть с нулевыми значениями входящих импульса и энергии, соответствующих взаимодействию с БЭК; $n_1 = n - n_0$ — число «надконденсатных» частиц, а функции Φ и Ψ с учетом вклада полюсов одиночастичных нормальной $G_{11}(\mathbf{p},\varepsilon)$ и аномальной $G_{12}(\mathbf{p},\varepsilon)$ функций Грина определяются интегральными соотношениями:

$$\Phi(\mathbf{p},\varepsilon) = -\frac{1}{2} \int \frac{d^3 \mathbf{p}'}{(2\pi)^3} \Gamma(\mathbf{p},\varepsilon; \mathbf{p}', E(\mathbf{p}')) \times \\ \times \tilde{V}(\mathbf{p} - \mathbf{p}', \varepsilon - E(\mathbf{p}')) \left[\frac{A(\mathbf{p}', E(\mathbf{p}'))}{E(\mathbf{p}')} - 1 \right]; \quad (4)$$

$$\Psi(\mathbf{p},\varepsilon) = -\frac{1}{2} \int \frac{d^3 \mathbf{p}'}{(2\pi)^3} \Gamma(\mathbf{p},\varepsilon; \mathbf{p}', E(\mathbf{p}')) \tilde{V}(\mathbf{p} - \mathbf{p}', \varepsilon - E(\mathbf{p}')) \times$$

$$\times \frac{n_0 \Lambda(\mathbf{p}', E(\mathbf{p}')) \tilde{V}(\mathbf{p}', E(\mathbf{p}')) + \Psi(\mathbf{p}', E(\mathbf{p}'))}{E(\mathbf{p}')}, \quad (5)$$

где

$$A(\mathbf{p}, E(\mathbf{p})) = n_0 \Lambda(\mathbf{p}, E(\mathbf{p})) \tilde{V}(\mathbf{p}, E(\mathbf{p})) + \frac{\mathbf{p}^2}{2m} + \\ + \Phi(\mathbf{p}, E(\mathbf{p})) - \Phi(0,0) + \Psi(0,0), \quad (6)$$

а $E(\mathbf{p})$ — спектр квазичастиц, который соответствует полюсам функций G_{11} и G_{12} и в общем виде определяется следующим соотношением [9]:

$$E(\mathbf{p}) = \left\{ \left[\frac{\mathbf{p}}{2m} + \Sigma_{11}^s(\mathbf{p}, E(\mathbf{p})) - \mu \right]^2 - |\Sigma_{12}(\mathbf{p}, E(\mathbf{p}))|^2 \right\}^{1/2} + \\ + \tilde{\Sigma}_{11}^a(\mathbf{p}, E(\mathbf{p})), \quad (7)$$

где

$$\tilde{\Sigma}_{11}^{s,a}(\mathbf{p}, \varepsilon) = \frac{1}{2} [\Sigma_{11}(\mathbf{p}, \varepsilon) \pm \Sigma_{11}(-\mathbf{p}, -\varepsilon)], \quad (8)$$

$$\mu = \Sigma_{11}(0,0) - \Sigma_{12}(0,0). \quad (9)$$

В рамках рассматриваемого приближения с учетом (1), (2) и (6) выражение (7) принимает вид

$$E(p) = \left[A^2(\mathbf{p}, E(p)) - [n_0 \Lambda(\mathbf{p}, E(p)) \tilde{V}(\mathbf{p}, E(p)) + \right. \\ \left. + \Psi(\mathbf{p}, E(p))]^2 \right]^{1/2} + \frac{1}{2} [\Phi(p, E(p)) - \Phi(-p, -E(p))]. \quad (10)$$

В работе [10] методом итераций был проведен численный расчет спектра квазичастиц $E(p)$ с использованием в качестве исходного потенциала вза-

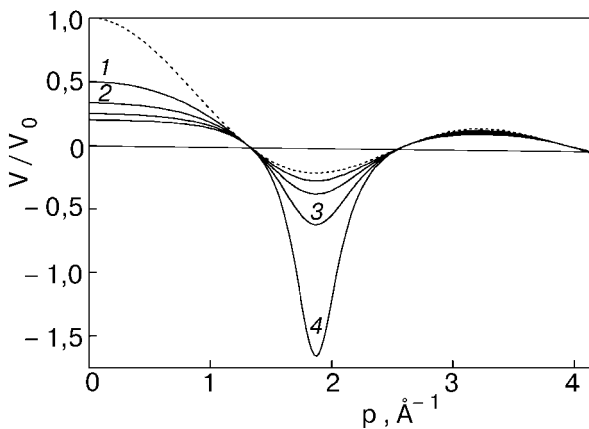


Рис. 1. Затравочное взаимодействие (11) в модели «твердых сфер» (штриховая кривая) и перенормированная («экранированная») фурье-компоненты парного взаимодействия бозонов в приближении постоянного параметра экранирования (22) для разных значений α (сплошные кривые): $\alpha = 1$ (1); 2 (2); 3 (3); 4 (4).

имодействия $V(p)$ перенормированной фурье-компоненты бесконечного отталкивания $V(r) \rightarrow \infty$ при $r \leq a$ в модели «твердых сфер» (рис. 1), полученной в [11,12] в рамках «лестничного» приближения:

$$V(p) = V_0 \frac{\sin pa}{pa}. \quad (11)$$

Заметим что наличие исключенного объема при $r < a$ приводит к ограничению применимости потенциала (11) областью импульсного пространства $p \leq 2\pi/a$, которая соответствует доступному объему $r \geq a$.

При численных расчетах в [10] при вычислении поляризационного оператора $\Pi(\mathbf{p}, \varepsilon)$ в качестве нулевой итерации для спектра $E_0(p)$ выбирался боголюбовский спектр [5]

$$E_B(p) = \left\{ \frac{p^2}{2m} \left[\frac{p^2}{2m} + 2nV(p) \right] \right\}^{1/2} \quad (12)$$

с осциллирующим знакопеременным потенциалом (11), максимально приближенный к экспериментальному спектру элементарных возбуждений $E_{\text{exp}}(p)$ в жидком ${}^4\text{He}$ путем подбора двух параметров V_0 и a (рис. 2).

В частности, для такого спектра $E_B(p) \approx E_{\text{exp}}(p)$ были проведены вычисления подынтегральной функции в выражении для $\Pi(\mathbf{p}, \omega)$ на «массовой поверхности» $\varepsilon = E(p)$:

$$\Pi(\mathbf{p}, E(p)) = \frac{1}{2} \int \frac{d^3k}{(2\pi)^3} \frac{[I_{11}(\mathbf{p}, \mathbf{k}) + I_{12}(\mathbf{p}, \mathbf{k})]}{E(\mathbf{k}) - E(\mathbf{k} - \mathbf{p}) - E(\mathbf{p})} \Gamma(\mathbf{p}, \mathbf{k}), \quad (13)$$

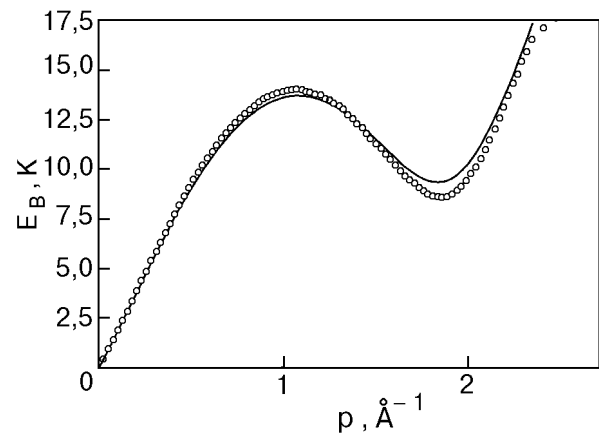


Рис. 2. Боголюбовский спектр (12) (сплошная кривая), максимально приближенный к экспериментальному (точечная кривая) для $V_0/a^3 = 169$ К при $a = 2,44$ Å.

где

$$I_{11}(\mathbf{p}, \mathbf{k}) = \frac{F_{11}(\mathbf{p}, \mathbf{k})}{E(\mathbf{k})[E(\mathbf{k}) + E(\mathbf{k} - \mathbf{p}) - E(\mathbf{p})]} - \frac{D_{11}(\mathbf{p}, \mathbf{k})}{E(\mathbf{k} - \mathbf{p})[E(\mathbf{k}) + E(\mathbf{k} - \mathbf{p}) + E(\mathbf{p})]}, \quad (14)$$

$$I_{12}(\mathbf{p}, \mathbf{k}) = \frac{F_{12}(\mathbf{p}, \mathbf{k})}{E(\mathbf{k})[E(\mathbf{k}) + E(\mathbf{k} - \mathbf{p}) - E(\mathbf{p})]} - \frac{D_{12}(\mathbf{p}, \mathbf{k})}{E(\mathbf{k} - \mathbf{p})[E(\mathbf{k}) + E(\mathbf{k} - \mathbf{p}) + E(\mathbf{p})]}, \quad (15)$$

а функции F_{11} , F_{12} , D_{11} , D_{12} определяются соотношениями

$$F_{11}(\mathbf{p}, \mathbf{k}) = \left[E(\mathbf{k}) + \frac{k^2}{2m} - \mu + \Sigma_{11}(-\mathbf{k}, -E(\mathbf{k})) \right] \times \\ \times \left[E(\mathbf{k}) - E(\mathbf{p}) + \frac{(\mathbf{k} - \mathbf{p})^2}{2m} - \mu + \right. \\ \left. + \Sigma_{11}(-\mathbf{k} + \mathbf{p}, -E(\mathbf{k}) + E(\mathbf{p})) \right]; \quad (16)$$

$$D_{11}(\mathbf{p}, \mathbf{k}) = \left[E(\mathbf{k} - \mathbf{p}) + \frac{(\mathbf{k} - \mathbf{p})^2}{2m} - \mu + \right. \\ \left. + \Sigma_{11}(-\mathbf{k} + \mathbf{p}, -E(\mathbf{k} - \mathbf{p})) \right] \times \\ \times \left[E(\mathbf{k} - \mathbf{p}) - E(\mathbf{p}) + \frac{\mathbf{k}^2}{2m} - \mu + \right. \\ \left. + \Sigma_{11}(-\mathbf{k}, -E(\mathbf{k} - \mathbf{p}) + E(\mathbf{p})) \right]; \quad (17)$$

$$F_{12}(\mathbf{p}, \mathbf{k}) = \Sigma_{12}(\mathbf{k}, E(\mathbf{k})) \Sigma_{12}(\mathbf{k} - \mathbf{p}, E(\mathbf{k}) - E(\mathbf{p})); \quad (18)$$

$$D_{12}(\mathbf{p}, \mathbf{k}) = \Sigma_{12}(\mathbf{k} - \mathbf{p}, E(\mathbf{k} - \mathbf{p})) \Sigma_{12}(\mathbf{k}, E(\mathbf{k} - \mathbf{p}) - E(\mathbf{p})). \quad (19)$$

В работе использовано приближение нераспадного спектра Не II, которое выполняется при $\epsilon > \epsilon_c \sim 10$ К. Такой подход оправдан, так как данная модель не претендует на детальное описание фононной части спектра при малых энергиях фона. Поскольку

$$E(\mathbf{k}) < E(\mathbf{p}) + E(\mathbf{k} - \mathbf{p}), \quad (20)$$

общий знаменатель в подынтегральном выражении в (13) отрицателен при всех импульсах, тогда

как функции $I_{11}(\mathbf{p}, \mathbf{k})$ и $I_{12}(\mathbf{p}, \mathbf{k})$ положительны, так что $\Pi(\rho) \equiv \Pi(\mathbf{p}, E(p)) < 0$. Благодаря этому в перенормированном («экранированном») за счет коллективных эффектов парном взаимодействии между бозонами

$$\tilde{V}(p) \equiv \tilde{V}(\mathbf{p}, E(p)) = \frac{V(p)}{1 - V(p)\Pi(p)} \quad (21)$$

происходит ослабление отталкивания в области $0 \leq pa \leq \pi$, где $V(p) > 0$, и усиление эффективного притяжения в области $\pi < pa \leq 2\pi$, где $V(p) < 0$ (см. рис. 1). Для упрощения расчетов в [10] выражение для $V(p)$ с учетом (11) аппроксимировалось потенциалом

$$\tilde{V}(p) = \frac{V(p) \sin(pa)}{pa + \alpha \sin(pa)}, \quad (22)$$

где $\alpha = V_0 \overline{|\Pi(p)|}$ — положительный безразмерный параметр, определяющийся средним значением модуля $\Pi(p)$ в области $0 \leq pa \leq 2\pi$. На рис. 1 показана зависимость $\tilde{V}(p)$ для разных значений α .

Итерационные численные расчеты были проведены в [10] для разных значений подгоночных параметров V_0 и α при фиксированном значении величины $a = 2,44 \text{ \AA}$, равной удвоенному квантовому радиусу атома гелия ${}^4\text{He}$, и при $n_0 = 0,09n$ в соответствии с экспериментальными данными [1,2]. Третьим подгоночным параметром была эффективная масса бозонов m^* в бозе-жидкости, которую подставляли в выражение (6) вместо массы m атома ${}^4\text{He}$. Наилучшее согласие с $E_{\text{exp}}(p)$ было достигнуто при значениях $V_0/a^3 = 147$ К и $\alpha = 3,65$ (рис. 3). При этом было получено близкое к экспериментальному значение

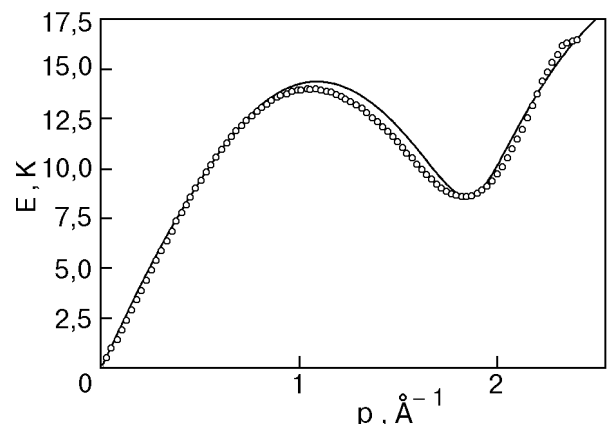


Рис. 3. Вычисленный в [10] спектр квазичастиц в модели «твёрдых сфер» (сплошная кривая) при значениях параметров $V_0/a^3 = 147$ К, $\alpha = 3,65$, $a = 2,44 \text{ \AA}$ и $m^* = 550m$. Точечной кривой показан экспериментальный спектр в ${}^4\text{He}$.

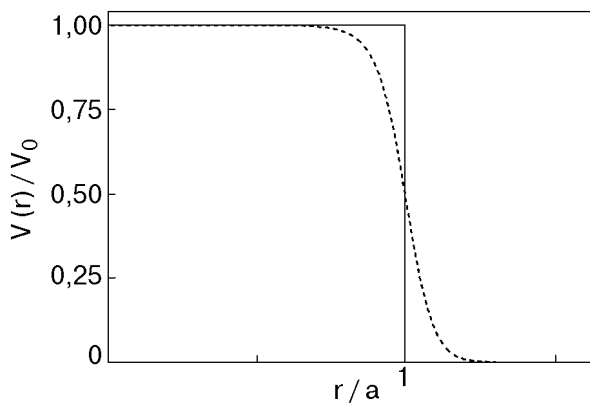


Рис. 4. Потенциал конечного отталкивания в модели «полупрозрачных сфер» (сплошная кривая) и в виде «линхардовской» функции (25) (штриховая кривая) в реальном пространстве.

полней плотности частиц $2,2 \cdot 10^{22} \text{ см}^{-3}$, вычисленное по формуле

$$n = n_0 + n_1 = n_0 + \frac{1}{2} \int \frac{d^3 p}{(2\pi)^3} \left[\frac{A(p, E(p))}{E(p)} - 1 \right]. \quad (23)$$

Однако для согласования групповой скорости квазичастиц при $p \rightarrow 0$ со скоростью первого (гидродинамического) звука $c_1 = 236 \text{ м/с}$ требовалась аномально большая величина отношения $m^*/m \approx 550$. Это указывает на неудовлетворительную ситуацию, возникающую при использовании упрощенного потенциала (22) с постоянным значением «экранирующего» параметра α . Кроме того, непоследовательным является вычис-

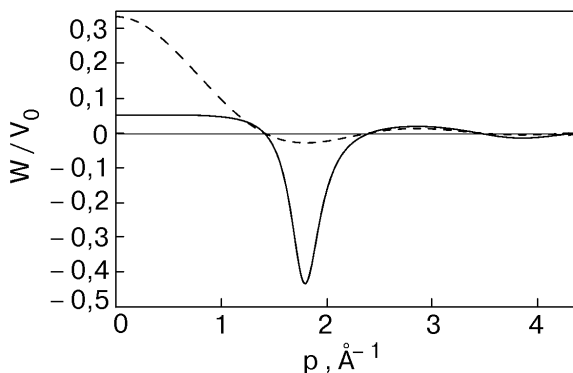


Рис. 5. Фурье-компоненты затравочного взаимодействия $W(p)$ в модели «полупрозрачных сфер» (24) (штриховая кривая) и перенормированное взаимодействие $\tilde{W}(p)$ с учетом импульсной зависимости поляризационного оператора Π на «массовой» поверхности (сплошная кривая).

ление взаимодействия в рамках модели «твердых сфер» с использованием формулы (11), поскольку последняя была получена в «лестничном» приближении [5,12], которое справедливо только для разреженных бозе-систем.

Для бозе-жидкости более адекватным представляется подход, который аналогичен методу псевдопотенциала в теории твердого тела и учитывает эффекты квантовой дифракции при рассеянии частиц друг на друге. Простейшим примером такого «квантового псевдопотенциала» является модель «полупрозрачных сфер» с конечным отталкиванием $V(r) = V_0 = \text{const}$ в области $r \leq a$ и $V(r) = 0$ при $r > a$ (рис. 4). Фурье-компоненты такого потенциала имеют вид (рис. 5)

$$W(p) = W_0 \frac{\sin(pa) - pa \cos(pa)}{(pa)^3}, \quad (24)$$

где $W_0 = 3W(0) = 6\pi V_0/a^3$. Следует подчеркнуть, что точно такую фурье-компоненту имеет более плавный потенциал в виде «линхардовской» функции от радиуса r [13] (см. рис. 4):

$$W(r) = \frac{V_0}{2} \left[1 + \frac{1 - r^2/a^2}{2r/a} \ln \left| \frac{a+r}{a-r} \right| \right], \quad (25)$$

который имеет точку перегиба с бесконечной производной при $r = a$. Это существенно расширяет класс псевдопотенциалов, характеризующихся знакопеременными фурье-компонентами с осцилляциями в импульсном пространстве, которые формально аналогичны известным осцилляциям Рудермана—Киттеля и Фриделя в реальном пространстве [13,14].

Заметим, что осциллирующий псевдопотенциал «полупрозрачных сфер» (24) использовался ранее в [15] для вычисления боголюбовского спектра (12) с «ротонным» минимумом и оказался более удобным, чем потенциал «твердых сфер» (11), как с точки зрения устойчивости спектра, так и его подобия эмпирическому спектру в ${}^4\text{He}$.

В связи с изложенным выше в данной работе при вычислении спектра квазичастиц (10) в бозе-жидкости путем самосогласованного решения системы нелинейных интегральных уравнений (4)–(6) с помощью итераций был использован псевдопотенциал (24).

3. Итерационная схема и спектр квазичастиц

Для вычисления спектра квазичастиц сначала был проведен численный расчет в первом приближении функций $\Phi_1(p) \equiv \Phi(p, E_0(p))$ и $\Psi_1(p) \equiv \Psi(p, E_0(p))$ с

использованием нулевого приближения для «экранированного» псевдопотенциала

$$\tilde{W}_0(p) = \frac{W(p)}{1 - W(p)\Pi_0} \quad (26)$$

при некотором постоянном отрицательном значении Π_0 и с учетом потенциала (24) и боголюбовского спектра (12), близкого к $E_{\text{exp}}(p)$. Затем на основе полученных зависимостей $\Phi_1(p)$ и $\Psi_1(p)$ и соответствующих им функций $\Sigma_{11}^1(p)$ и $\Sigma_{12}^1(p)$ в первом приближении вычислялся поляризационный оператор $\Pi_1(0)$ с помощью соотношений (13)–(19) при $\Gamma = 1$. Причем на этом этапе вычислений, как и в [10], в качестве нулевой итерации для спектра $E(p)$ выбираем боголюбовский спектр (12), наилучшим образом согласованный с эмпирическим спектром $E_{\text{exp}}(p)$ для жидкого ${}^4\text{He}$, но с использованием потенциала (24) вместо (11).

Проведено сравнение предельного значения $\Pi_1(0)$ с точным термодинамическим значением поляризационного оператора бозе-жидкости ${}^4\text{He}$ при $p = 0$ и $\omega = 0$ [16], определяющим сжимаемость бозе-системы:

$$\Pi(0,0) = -\frac{n}{mc_1^2}. \quad (27)$$

Абсолютная величина (27) оказалась почти в полтора раза больше, чем вычисленная величина $|\Pi_1(0)|$. Это позволило оценить среднее значение вершины Γ_1 в первом приближении.

Второе приближение $\Phi_2(p)$ и $\Psi_2(p)$ было получено на основе (4), (5) с полученным постоянным

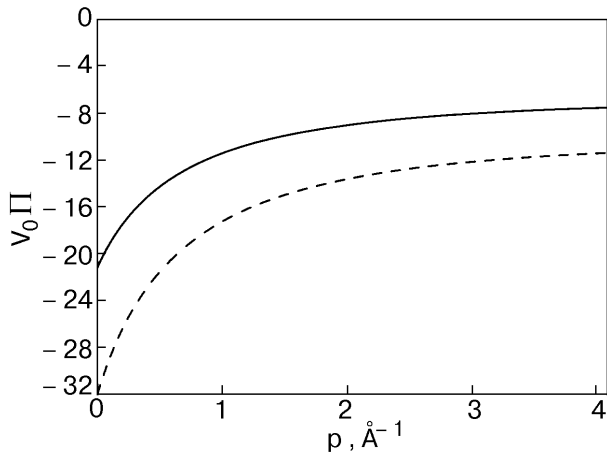


Рис. 6. Импульсная зависимость умноженного на V_0 поляризационного оператора бозонов на «массовой» поверхности $\Pi(p) \equiv \Pi(p, E(p))$, полученная в результате самосогласованных расчетов при $\Gamma = 1$ (сплошная кривая). Штриховой кривой показана зависимость $V_0 \Pi(p) \Gamma$ при $\Gamma = 1,5$.

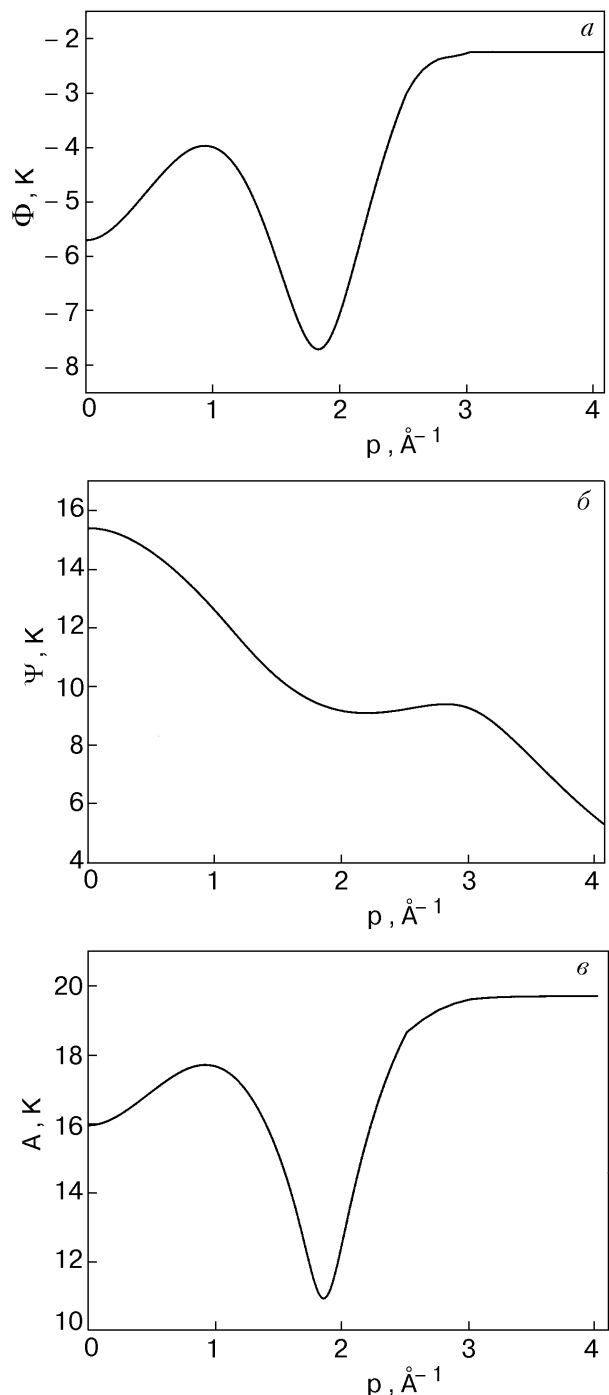


Рис. 7. Импульсные зависимости функций $\Phi(p)$ (а), $\Psi(p)$ (б) и $A(p)$ (в), полученные в результате самосогласованных вычислений при значении параметра $V_0/a^3 = 1552$ К.

значением $\Gamma_1 \equiv \Lambda_1$ и с применением первого приближения для перенормированного псевдопотенциала:

$$\tilde{W}_1(p) = \frac{W(p)}{1 - W(p)\Pi_1(p)\Gamma_1}. \quad (28)$$

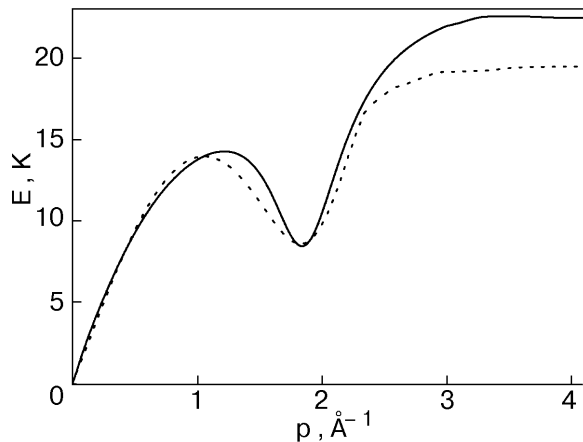


Рис. 8. Теоретический спектр квазичастиц $E(p)$, полученный в результате самосогласованных вычислений в рамках модели «полупрозрачных сфер». Точечная кривая — эмпирический спектр элементарных возбуждений в жидким ${}^4\text{He}$.

Такая итерационная процедура повторялась несколько раз (от 4 до 6) и использовалась для уточнения поляризационного оператора. На каждом этапе по формулам (6) и (10) воспроизводился спектр квазичастиц $E(p)$ и прослеживалась скорость сходимости итераций и степень близости $E(p)$ к эмпирическому спектру для $E_{\text{exp}}(p)$.

Единственным подгоночным параметром была амплитуда V_0 исходного псевдопотенциала (24) при $a = 2,44 \text{ \AA}$ и $n_0 = 0,09n$ в (23). В результате проведенных компьютерных расчетов удалось получить вполне удовлетворительное согласие теоретического спектра $E(p)$ с $E_{\text{exp}}(p)$. На Рис. 6 и 7 показаны окончательные (после 5 итераций) зависимости $\Pi(p)$, а также найденные с помощью соотношений (4)–(6) самосогласованные зависимости функций $\Phi(p)$, $\Psi(p)$ и $A(p)$.

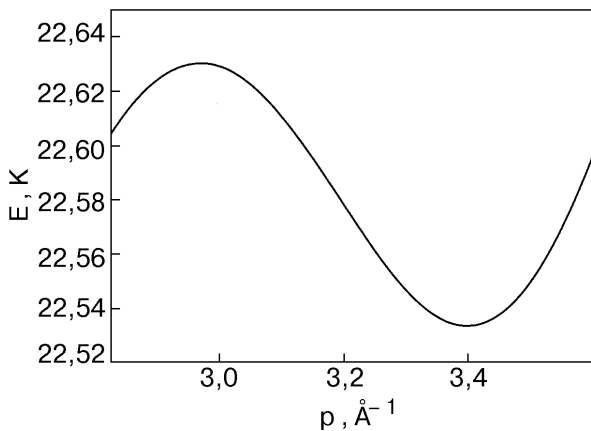


Рис. 9. Дополнительные осцилляции теоретического спектра квазичастиц $E(p)$ в области больших импульсов (в увеличенном масштабе).

На рис. 8 сплошной кривой показан полученный после 5 итераций теоретический спектр квазичастиц $E(p)$, а точечная кривая — экспериментальные данные [7] по неупругому рассеянию нейтронов в жидким ${}^4\text{He}$ вплоть до импульсов $p \approx 4 \text{ \AA}^{-1}$. Как видим, наблюдается вполне удовлетворительное согласие $E(p)$ с $E_{\text{exp}}(p)$ в области $p \leq 2,5 \text{ \AA}^{-1}$. В области $p > 2,5 \text{ \AA}^{-1}$ теоретический спектр $E(p)$ лежит несколько выше $E_{\text{exp}}(p)$, что связано, по-видимому, с тем, что убывающая с ростом p вершинная функция $\Gamma(\mathbf{k}, p)$ заменилась постоянным значением $\tilde{\Gamma} \approx 1,5$ во всем диапазоне p . Характерной особенностью полученного спектра является наличие слабых осцилляций в области $p > 2 \text{ \AA}^{-1}$ (с максимумом $E_{\text{max}} = 22,63 \text{ K}$ при $p = 2,98 \text{ \AA}^{-1}$ и минимумом $E_{\text{min}} = 22,53 \text{ K}$ при $p = 3,39 \text{ \AA}^{-1}$). Соответствующий участок спектра изображен в увеличенном виде на рис. 9. Наличие «повторных» максимума и минимума обусловлено осциллирующим характером исходного потенциала (24) при больших p .

Параметр V_0 подобран таким образом, чтобы фазовая скорость $E(p \rightarrow 0)/p$ совпадала со скоростью гидродинамического звука $c_1 \approx 236 \text{ m/s}$ в жидким ${}^4\text{He}$, и соответствует значению $V_0/a^3 = 1552 \text{ K}$ при $a = 2,44 \text{ \AA}$. При этом найденное с помощью (22) значение полной плотности частиц $2,12 \cdot 10^{22} \text{ cm}^{-3}$ при $n_0 = 0,09n$ близко к экспериментальному значению полной плотности частиц в жидким гелием ${}^4\text{He}$.

4. Выводы

Таким образом, в данной работе реализована самосогласованная итерационная процедура компьютерных расчетов спектра квазичастиц в бозе-жидкости на основе развитой в [3,8,10] замкнутой модели СТ состояния с подавленным БЭК ($n_0 \ll n$) и с простым псевдопотенциалом парного взаимодействия в приближении «полупрозрачных сфер». Показано, что такое приближение гораздо лучше, чем модель «твердых сфер», поскольку оно позволяет получить вполне удовлетворительное согласие теоретического спектра квазичастиц $E(p)$ с эмпирическим спектром $E_{\text{exp}}(p)$ для жидкого ${}^4\text{He}$ в широкой области импульсов всего лишь с одним подгоночным параметром.

Авторы выражают благодарность И. Н. Адаменко, Э. Я. Рудавскому, И. В. Сименогу и П. И. Фомину за полезные дискуссии.

Один из авторов (В. С. И.) благодарен фонду DAAD (Германия) за финансовую поддержку данной работы.

1. H. R. Glyde and E. C. Swensson, in: *Neutron Scattering*, D. L. Price and K. Skold (eds.), *Methods of Experimental Physics*, vol. 23, p. B, Academic Press, New York (1987), p. 303.
2. A. F. G. Wyatt, *Nature* **391**, 56 (1998).
3. Ю. А. Непомнящий, Э. А. Пашицкий, *ЖЭТФ* **98**, 178 (1990).
4. С. Т. Беляев, *ЖЭТФ* **34**, 417, 433 (1958).
5. Н. Н. Боголюбов, *Изв. АН СССР, сер. физ.* **11**, 77 (1947); *Physica* **9**, 23 (1947).
6. H. R. Glyde and W. G. Stirling, *Phys. Rev.* **B42**, 4224 (1990).
7. K. H. Andersen, W. G. Stirling, R. Scherm, A. Stanault, B. Fak, H. Godfrin, and A. J. Dianoux, *J. Phys.: Condens. Matter* **6**, 821 (1994).
8. Э. А. Пашицкий, *ФНТ* **25**, 115 (1999).
9. А. А. Абрикосов, Л. П. Горьков, П. Е. Дзялошинский, *Методы квантовой теории поля в статистической физике*, Физматгиз, Москва (1962).
10. С. И. Вильчинский, Э. А. Пашицкий, *ФНТ* **27**, 253 (2001).
11. K. A. Bruckner and K. Sawada, *Phys. Rev.* **106**, 1117, 1128 (1957).
12. К. Бракнер, *Теория ядерной материи*, Мир, Москва (1964).
13. Дж. Шриффер, *Теория сверхпроводимости*, Наука, Москва (1970).
14. Р. Уайт, *Квантовая теория магнетизма*, Мир, Москва (1985).
15. Э. А. Пашицкий, *УФЖ* **18**, 1439 (1973).
16. Ю. А. Непомнящий, А. А. Непомнящий, *ЖЭТФ* **75**, 976 (1978).

Self-consistent calculation of quasi-particle spectrum in superfluid Bose-liquid with a Bose-Einstein quenched condensate

E. A. Pashitskii, S. I. Vilchinskyy, and
S. V. Mashkevich

The iteration method was used to made a self-consistent calculation of normal, Σ_{11} , and abnormal, Σ_{12} , self-energy parts, boson polarization operator Π on a «mass surface» and quasi-particle spectrum $E(p)$ in a superfluid Bose-liquid with a quenched single-particle Bose-Einstein condensate (BEC) at $T = 0$. The calculation was based on a set of "shorbened" integral equations for Σ_{11} and Σ_{12} with due account of the first-order terms by the BEC density $n_0/n \ll 1$. As a «seed» interaction between bosons the repulsive pseudo-potential in the model of «semitransparent spheres» was employed the Fourier component of which is an oscillating sign-changing function of the momentum transferred. By fitting the unique fitting parameter — the initial repulsive pseudo-potential amplitude — we succeeded in obtaining quite reasonable agreement between the theoretical quasi-particle spectrum $E(p)$ and the empirical spectrum of elementary excitation in superfluid helium measured by neutron scattering in a wide momentum range ($0 \leq p \leq p_{\max} \approx 4 \text{ \AA}^{-1}$).